



הנדסה
ואדריכלות

עתון אגודת האינג'ינרים והארქיטקטים בישראל

JOURNAL OF THE ASSOCIATION OF
ENGINEERS AND ARCHITECTS IN ISRAEL



בשיטות בתי-כוןן אוניברס טורבינה תעשייתית האבסס על מנוע תעופתי

ג. סיני, ג. רוזביץ, מ. הירש, מנועי בית-שם בע"מ

Design Problems of an Industrial Gas Turbine Engine Derived from an Aircraft Gas Turbine Engine

J. SINAI, J. ROZEWICZ, M. HIRSCH, Bet-Shemesh Engines Ltd.

The 800 KW industrial turbine of Bet-Shemesh Engines was developed with use of aircraft engine components and technology; however the accent has been placed upon simplicity, low price and a short development time.

Examples of some aspects of the design are as follows:

The design of the part of the engine downstream the gas generator emphasized the use of existing hardware.

A special analysis of the reduction gear with respect to the approach and recess points of the gears was required because of their high speeds.

A mathematical model of the engine with its control system was developed to evaluate the stability of the complete engine at various operating conditions. The control system includes components from existing engine controls. It provides fuel limiting during acceleration and control of requested free turbine speed as well as top speed limiting of the gas generator.

The stator vanes of the free turbine represent a new aerodynamic design. The stators were designed to be compatible with existing rotor blades from a different engine.

סיכוםוני

תמסורות מהירות

k_1 — זרם לחץ המגע בגלגול השינויים הקטן.

k_2 — זרם לחץ המגע בגלגול השינויים הגדול.

N — מספר השינויים בגלגול הקטן.

S_1 — מהירות החלקה יחסית בשורש תשן של בגלגול הקטן.

S_2 — מהירות החלקה ייחסית בשורש שני בגלגול הגדול.

x — מקום תיקון פרופיל תשן.

α — זוית החלקה.

β — זוית הטיפוע של בגלגולים המשופעים.

γ — זרם תטוסרה.

מודל המנוע

\dot{m} — מומנט האינרצייה של גל יצiran האג.

\dot{m}_1 — מומנט האינרצייה של גל הטורבינה החופשית.

$\frac{d}{dt} \dot{m}_1 = s$ — משתנה לפט עבור תנאי תחילה שווים לאפס בפונקציות התמיסורה.

מערכות אינטראקטיביות של פרוטויזים במערכת,

stab סטייב **noz** נזוץ

$\delta = \dot{m}_1 = p_1 = \text{טמפרטורה טוטלית},$

$\delta = p_2 = \dot{m}_2 = \text{לחץ טוטלי},$

$\delta = H_1 = z_1 = \text{קצב ספיקת אנטאלפיה טוטלית},$

כאשר :

$i = 0$ — כניסה אויר ליצiran האג.

$i = 1$ — יציאה אויר מממדח יצiran האג.

$i = 2$ — יציאת גזים מטאורビינת יצiran האג.

$i = 3$ — יציאת גזים מטאורビינת יצiran האג.

$i = 4$ — יציאת גזים מטאורビינת יצiran האג.

$i = 5$ — יציאת גזים מטאורビינת החופשיות.

$p_{in} = \delta (P_{in})$ — לחץ דלק בכיניטה לאוסת ההחשה.

$\dot{g} = \delta (G')$ — ספיקת אויר במדח.

$\dot{g}' = \delta (G'')$ — ספיקת גזים בטורבינה.

$\dot{g}'' = \delta (G''')$ — ספיקת דלק.

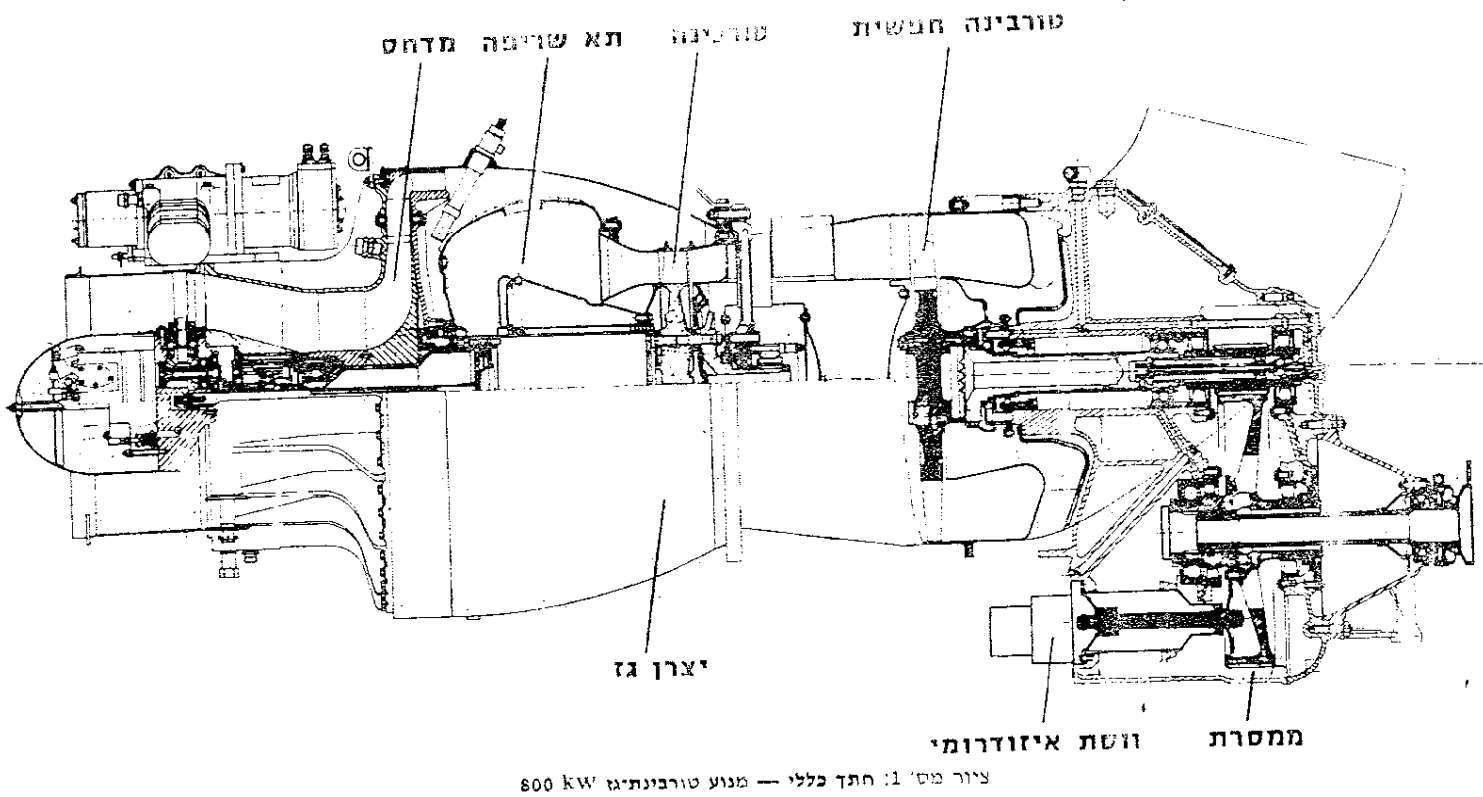
$\dot{n}_1 = \delta (N_1)$ — מהירות סיבוב יצiran האג.

$\dot{n}_in = \delta (N_{in})$ — מהירות סיבוב הטורבינה החופשיות.

1. מבוא

המשימה שמשמעותה מנועי בית-שם נטל על עצמה היה לפתח טורבינה של 800 קוו"ט שתשתמש כמנע לייחודה לשעת חרום או ליחידות במתקנים מסווגים (הספק וחומר). כמה עקרונות הנחו את המפעל במציאות:

- המנוע חייב להיות זול, פשוט ובעל נפח קטן.
- פיתוח במחיר נמוך ובזמן קצר.
- שימוש בחלקים קיימים ובטכניקות וכליים המוצריים בzczeל או במפעל האם "טורבומכת".



- ג. אספקת גז מוגנלי;
- ה. שימוש באחד מסוגי הקפות התקיימים ביצור בـ "טורבומכה".
- ה. מהירות סיבובים (המתיחסת להנחות בתכנון התמסורת).
- ב' יצוע הפרויקט היה תלוי בתכנון דרגה טורבינה שתענה על התנחות שהנחנו בתכנון דרגה טורבינה קיימת כידע עתידי בעיות מיפויות [1]:

 1. בהירות מודדים ופרופילים לקסדה כפota שיתנו את האפקטיבים הארוטרומודינמיים הנדרשים (בעיה "הפהכה").
 2. ניהול ביצועי הדרגה ומיציאת הפרמטרים של הורינה בפרופיל הקסקדות הנטען (בעיה "ישורה").

במקרה הנדון נאלכנו להשתמש באופן החלקי בשיטה "הפהכה" ובאופן חלק ביטחיה "ישורה". נאלכנו, להאums לקסדה הרטוטור הקיימת את הפרופילים של הנחיירויות. היישובים ארוטרומודינמיים של הדרגה נעשו בשיטת trial and error בהחלפת הפרמטרים שניתנו לבחירה. הפרמטרים שהוחלפו היו: התקוטר הממוצע של הדרגה, גובה הלהבים, ודרגת הריאקציה. המגבילות שהיו לפרמטרים אלה נבעו ממלול האנטיליפה הדרוש לקבלה הנציגות הדרישה וכמו כן מתנאי חזוק הנובעים מצורמת הקפות הקיימות. החישובים הארוטרומודינמיים בשלב הראשון נעשו לזרימת דרי מינימלית לפני התקוטר המוצע. צורת ומידת התקוטר המוצע נקבעו על סמך היישובים רבי-משתנים שנעשו בעורמת מחשב. אחריו זה נעשה היישוב ורימה קווייתית-טימידית לשבעה קוי ורימה.

כפי שידוע, היישובים ארוטרומודינמיים שמשתמשים בהם למעטה מתבססים על הנחות המתיחסות לתנאים קיימים בשכבה גבול. התנחות מסווג והמתבססות במידת רבba על השערות כלולות. נכונות השערות אלה נבדקה בצורה נסוינית. כפי שהזכיר לעיל, מבחןנות כלכלות נאלכו לאגדיל את משך התכנון והביצוע של הפרויקט. לכן בוטלו הניסויים הארוטרומודינמיים של רכיבי הטורבינה, ובמקומות זה תוחלת לתכנן שלושה סוגים סטטורים לא-בידוד טורבינות השגיטיים בהם ייעשו ביחד עם המערכת כוללת. דבר זה התאפשר על ידי טכניקת ייצקה מדוייקת אשר בה הכלוי העיקרי משותף ל-3 הסוגים.

עד עתה נעשו הניסויים רק לסוג אחד של סטטור. במקורה זה התקבל שפק של 790 קוו"ט (מתוקן לתנאים סטנדרטיים). אפשר ל振奋ות שאחרי

להתקדימו וטיזועים של המנוע — הנציגות והמשקל הם רק גורמים מיינמיים. יצרן הוא שנבחר דומה מאוד למנוע המוטס "פוגה" — מנוע פשוט (מדגם איד"ז וטורבינה אחת), שכבר נבנה לאלהים במשך שנים רבות, מודורי הפעולה והכלים שלו כבר שעלו והוא תוכיה את עצמן באלאי מושגים.

החלק השני — טורבינת הטפל, ממסתה ומערכת ויסותה האכן במנוע ביתרמש לפיה עקרונות דומים למגוון תypes, אך שונות לשם הוולות מהיר הייצור והעומתון. להלן יבואו מספר דוגמאות משיקולי התכנון של המערבות אונסורה, התקירה אותה כוללת את כל בעיות הריבנן — אלא רק מספר דוגמאות בהן התיכון מיה שונה מהמקובל.

2. אROTATEMODYNAMICKA של הטריבינה החוצהית

הצד האROTATEMODYNAMI בפרויקט זה המתיחס לביצוע הבסיסיות הבאות:

1. טורבינה חופשית להחלה ארגונית חרמיה של נים היוצאים מיצורן האן לאנרגיה מכנית;

2. צינור פליטה לגז הריבנה;

3. צינור המחבר את יצורן האן עם טורבינת כות.

הבעיה הראשונה הצריכה פתרון בהחום העזיב עקב מגבילות

שוכלו בפרויקט. שתי הבעיות האחרות היבנו בעיות טיפוסיות בתכנון מנוני טורבינה [2].

יצורן האן הוא אעלמת בסיסית של מנוע סילון המציגות דף האקליפט לאנרגיה אינטראקטיבית של גז שריפה בגודל של 935 קוו"ט. על מנת לקבל כוח של 800 קוו"ט היה צורך לתכנן טורבינה חופשית בעלת נצילות אפקטיבית של 85%—86%. דבר המציג כ- 87% אינטראקטיבית. בחינות כלכלות אילצו אותנו להשתמש במנוע החדש ברכיבים ממנועים הנמצאים ביצור "טורבומכה". הרכיב העיקרי שנדאי היה להשתמש בו היה כמות הרוטור. פידויו, תכנון וביצוע של קסדה הרטוטור מורות עצם גדול ואיכות תיכנון, ניסויים ארוטרומודינמיים וקביעת הטכנולוגיה ייצור.

לאור האמור לעיל, הנחות בפרויקט זה את התנחות הבאות:

א. פרמטרים ארוטרומודינמיים של הורינה;

ב. ספיקת הורינה;

קשה של הגלגול הקטן ומינונה צלהת קונית של הגלגול הגדל, מיסבים קרוביים לגלגול.

אשיות מיוודה יש לבלאי בנקודות הפגיעה וההיפרדות של השיניים. בלאי זה מושפע מאוד על עליידי תיקון פרופיל השן, ולמעטה תיקון הפרופיל המתאים נבחר כתוצאה משיקולים אלה (ראה נספח א'). בנסיבות תעשייתית ואוטומוטיבית נהוג לבחור תיקון פרופיל המשווה את ההחלה היחסית בשתי הנקודות — הפגיעה וההיפרדות. בתמונות מעופתיות מהירות מגדים את תיקון הפרופיל בעיקר כדי לתקל על הגלגול הקטן (המניע). לשם קביעת תיקון הפרופיל במסרת הגזונה נחקו מקרים של שבר ובלאי בנסיבות העופתיות רבות. נבדק ההבדל במושג "אורך חיים" בתנאים העופתיים ותעשייתיים — בנסיבות העופתיים פירשו אורך החיים של הגלגול הבלתי ביטור בסדרת הייצור. בתוצאה מבידוקות אלו נבחר תיקון פרופיל קטן במקצת מהמקובל בנסיבות העופתיות (אך גדול מהמקובל בנסיבות אוטומוטיבית) ועל ידי כן התאפשרה הקלה בדישות הדיק היגיאומטרי והמטלולוגי (קשיות ועובי השכבה הקשה) של הגלגול הגדל.

3.2 חיבור בית הטורבינה למ מסרת

המבנה המקביל, המכונע תי הפסות של הטורבינה אחורי הדממה ומונע עוותים גדולים עקב המאמצים התרמיים, הוא מבנה של דופן כפולה ורמוניקה.

במקום נבחר מבנה יותר פשוט וקל לייצור — חיבור 3 סנדלים גמישים ובידוד על בית הטורבינה. הבידוד מנע התקරות מזרחה אחרי הדממה והסנדלים הגמישים מאפשרים שהרוד מסתובב על המאמצים התרמיים. פשרה זו דרש הגדלה מסוימת במירוח הטורבינה.

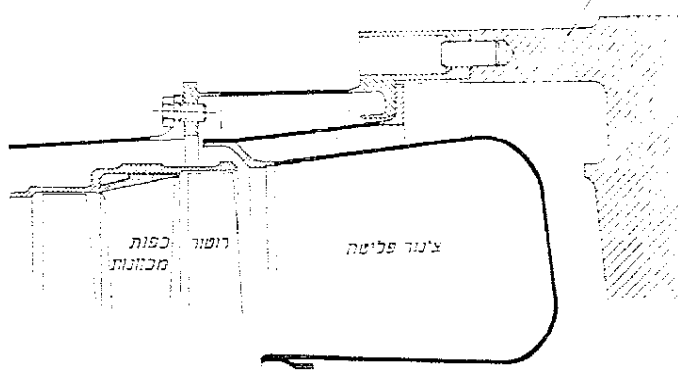
3.3 מבנה החלק האחורי

נבדקו 3 סוגים עקרוניים של מבנה:

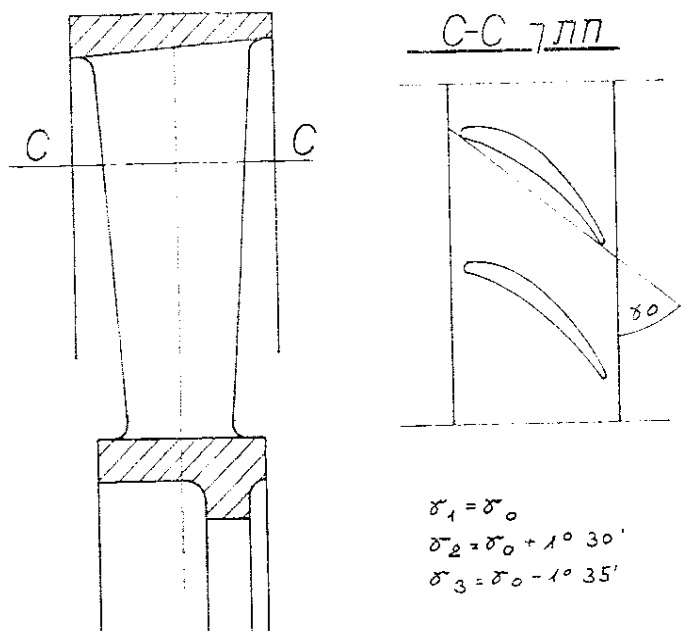
מבנה א' לאפשר חופש בתכנון המ מסרת, אך הוא ארוך ודורש גל ארוך וצינור פליטה לא פסיון, עם אמינה. מבנה ב' הוא קומפקטי, מהאים למ מסרת עם דרגת הפתחה אחת, אך דורש צינור פליטה מסוים מודפס מכנסיים.

מבנה ג' הוא האידול ביותר בוגהו, אך אפשר צורה פשוטה של צינור פליטה הבוני רק מחלקי קносיסים; הוא מתאים למ מסרת רדיאלית. בಗל שיקול של שימוש בכלים קיימים (מודוליזציה, מתקני ייצור ומדידה בבית המ מסרת) הוחלט להסתמש במבנה ב' למ מסרת בעלת יחס הפתחה 1:6, במרקחה של דרישה ליחס 1:12. היה צורך ב-2 דרגות הפתחה. במרקחה זאת, מ מסרת רדיאלית שהיא מאוזנת וקומפקטיבית עונה על הדרישות וגם אינה יקרה ממ מסרת רגילה (מהיר גלגלי שינוי עולה הרבה עם הקוטר) ולכן חיבור המתאים יהיה מבנה ג'.

בית המ מסרת



ציור מס' 3: חיבור התפשטות על עקרון הרמוניקה



ציור מס' 2: נחיוי השטזר של טורבינה חופשית

השלמת כל הניסויים ונשיגן, או אפילו נעצור את ההසפק שנותנו בהתקלה: 800 קוו"ט.

3. מיעות המ מסרת ומיצעה כלל

3.1 מסרת

מבנה החלק האחורי של המונע זוי הרבה בעקבו המ מסרת; לא יתפס. א匣ות הטורבינה אוחפשית היא 18 000 סב"ד. נבדקו ציפויי חמסותה: 6:1 ליציאה של 3000 סב"ד ו 12:1 ליציאה של 1500 סב"ד — מהירות המתאים לגנרטורים 50 הרץ.

למ מסרות כאלה ישנים שני סוג פרטונות — המ מסרת התעשייתית שהיא מגווצת וככזה והמסרת החשפתית שהיא יקרה וזרעת ודק רב ביצורה, הוחלט להשתמש במ מסרת החשפתית הדומה לו של האלקטראה, אך לשם הוללה בוצאו כמה שינויים ויבinations:

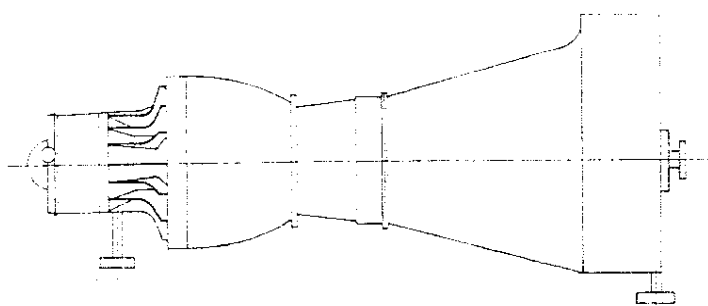
— בית המ מסרת מברזל יציקה (ילא גלאומינום כמו בתילוקטטר);
— הקלת מה בזרישות החזוק האיאומטריות והמטלורוגיות של הגלגול הגדל, כפי שנראה להלן.

במ מסרת שנבחרה, המהירותים וໄיקטיב של השינויים היא גבוהה — 55 מ' בשנית. בסוג כזה של מ מסרת יש לחשב בעיקר את עמידות הסן בבלאי, כתגובה לשתי התופעות:

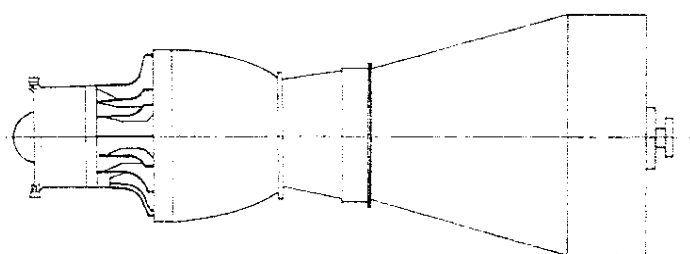
(א) איכות ייצור טובת — חומר מתאים, דוקום בייצור הגלגים ובמראם בין המרכזים, טיב שטח, שגיאות פרופיל מינימליות, קשיות וטיפול תרמי נכון, מניעת מיקרו-טזוקים בחומר באופן אكونי כתגובה מליח מגע גבוה.
לחיקנת הגלגול מטופעת אלה יש להבטחה:

א. איכות ייצור טובת — חומר מתאים, דוקום בייצור הגלגים ובמראם בין המרכזים, טיב שטח, שגיאות פרופיל מינימליות, קשיות וטיפול תרמי נכון, מניעת מיקרו-טזוקים של השחות, מרכזיות של המיסבים.

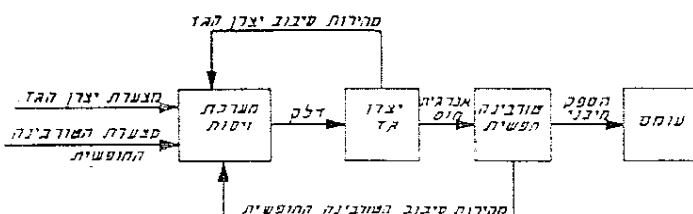
ב. מגע טוב לכל אורך השן — עליידי דיק בזווית המעליה, שהרוד הגלגים מהכיפה של גלי יציאה ובניטה — למשל עליידי חיבור משונן, מינימום הפרשי שקיעות לאורך השן — למשל עליידי מבנה



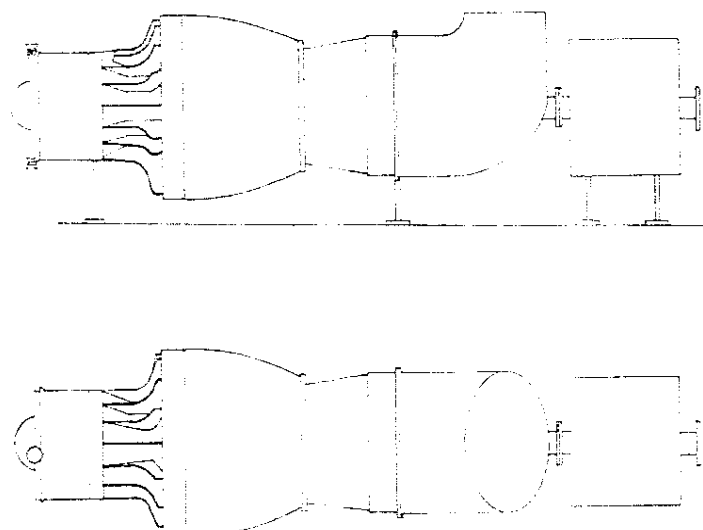
צייר מס' 4: חיבור התפשטות עם סנדלים



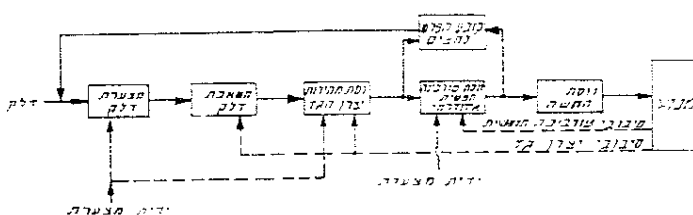
ציור מס' 7: מבנה א'



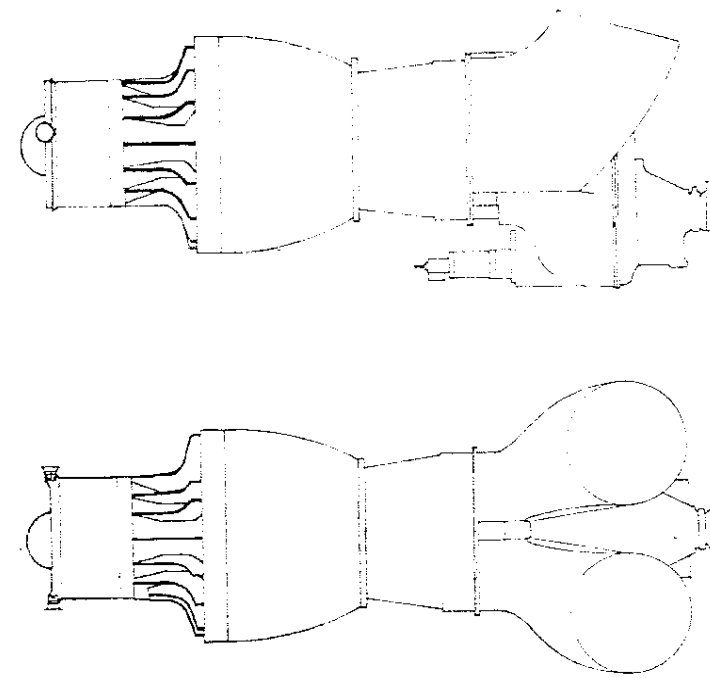
צייר מס' 8: תיאור כללי של מערכת מגע טריבינה חופשית



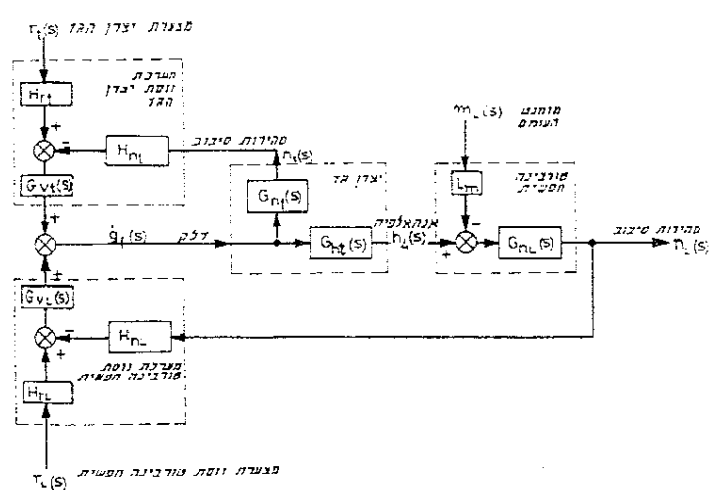
ציפור מס' 5 : מילה א'



ציור מס' 9: תיאור מערכת הדלק



ציור מס' 9: מיצגה ב'



ציור מס' 10: מודל מערכות חויסות + מכוון

— החק הבלתי-ליניארי, הענוה על בעיות יציבות ותופעת מעבר לגבול התגעה ושינויים גדולים בעומק.

הזמן שבנייה להלן מתייחס לחוק הליניארי שבמודל, פיתוח המודל דרש תיאור התחליך הדינמי של המונע מצד אחד, ושל מערכת הוייסות מצד שני, כך שתענוה על סpecificities שהמנוע נדרש לעמדת בהן.

4.3.1 מודל המונע

משוואות התחילץ התקבלו מתוך הקשרים בין הפרמטרים התרמו-דינמיים והדינמיים השוניים באמצעות מה שידוע ביצועי המונע ב-S.S., לגבי מתח וטורבינות-תיזר, תא השရיפה, הטורבינה החופשית וצינור אפליטה, וכן מתוך שיקול דינמיקה עבור:

— השפעת האינרציות של רוטור יצרן הגן, רוטור הטורבינה החופשית והעומס, לגבי האזזה או האותם.

— השפעת קיבול הנפח של תא השရיפה לגבי הצטבות או התפרקות מסת הגזים בו.

— השפעת קיבול החום של תא השရיפה.

קבלנו 12 משוואות הילכיות הקשורות בין הפרמטרים הבאים:

$$\frac{dt}{dt} = \frac{p_s - p_t - p_a - (n_s - n_t) - (m_s - m_t)}{dt}$$

$$\frac{dn}{dt} = \frac{n_s - n_t}{dt}; \quad \frac{dm}{dt} = \frac{m_s - m_t}{dt}$$

כינוס המשוואות הביא לידי משוואות החליך כדלקמן:

$$n_s = n_t + (m_s - g_s t)$$

$$n_t = n_s + (m_s - g_s t)$$

התקבלו משוואות דיפרנציאליות מסוימות מסדר גובה.

מתוך חישוב האינזינר של המקדים בפונקציות הניל, התברר כי ניתן להוניה הלק מהם, מבחינת סדר גודל; אלה הם מקדמי הנגורות הגבניות הנבעים ממקדמי קיבול תא השရיפה למסה ולהוות.

חזרה אמרה לגבי החום תזרירויות חנודת המערכת של עד כי 100 c.p.s.

גורם נוסף המביא לידי פישוט, הוא עניין הצימוד בין פרמטרים ביצן הגן לפרמטרים בטורבינה החופשית. בחישוב ובניסויים שערכנו התברר כי שינויי ביצועי הטורבינה, בחוג פתוח, כמעט ואינם משתיעים על פרמטר הגן ביציאת טורבינה יצרן הגן.

ניתן היה, איפוא, להוניה את הצימוד בין יצרן הגן לבין הטורבינה החופשית, והוא, במקרים לחשמה במונחים של פרמטרי ספיקת טמפרטורת לחץ וכן — בכונסה לטורבינה החופשית, יכולנו לחשמה במונחים הכוללים יותר של: אנטאלפיה גז הפליטה של יצרן הגן המסתפקת לטורבינה החופשית כמקור ארגנזה בלתי תלוי בביטויים בחוג פתוח (לא מערכת הוייסות).

(ראה נספח ב-1).

4.3.2 מודל מערכת הוייסות

(ראה נספח ב-2).

דימויי מערכת הוייסות, אופיין עליידי פונקציות המתסורה של הרכיבים השונים הקשורות בין הפרמטרים הבאים:

$$n_t = n_s + \left(\frac{dn_s}{dt} \right); \quad g_s t = r_s, \quad r_t$$

$$g_s t = g_s (n_s, n_t, r_s, r_t, t)$$

4.3.3 מודל כולל (מנוע בקרה מערכת הוייסות)

(ראה נספח ב-3).

המודל הכלול התקבל כתגובה שינויי ב מהירות סיכון הטורבינה החופשית או יצרן הגן לשינויים בעומק ובמצורנות:

$$n_s = n_t + (m_s, r_s, r_t, t)$$

$$n_t = n_s + (m_s, r_s, r_t, t)$$

יצרן הגן :

4.1 בעיות פיתוח מיוחדות

בביחוח מערכת הוייסות, הוכחנו צרכי בעיות:

— אפשרות חמורן גודלה על מנת לקצור את זמן הפיתוח ולא לתיכנן סופי עד למידות נתונות של המנוע.

— שימוש ברביבים וולטים.

פתרון הבעיות ניתן עליידי:

— שימוש ברביבים קיימים עם שינויים מהאימים לאגדלת אפשרות הכוון שליהם.

— פיתוח אנאליטי של מודל דינמי המאפשר איתור מזיר על השפעת פרמטרים שונים.

4.2 תיאור המערכת ורכיביה

— מצורע דלק יצרן הגן — מופעלת במצב התגעה לפתיחה מעבר לדלק מכימי דרכת, מהירות הפתיחה קבועה עליידי שיקולים של קצב האזאה דרוש של המנוע תוך שמירה על יציבות דינמית.

— משאבת דלק — מופעלת באמצעות מנגנון מיכני מגן יצרן הגן. המשאבה מאופיינת בכך שבמזרזיות הביניות הלויה ספיקת הדלק ב מהירות הסיבוב שלה, בעוד שבמזרזיות הగבניות אין השפעה של מהירות סיבוב המשאבה (בגלל אפקט חנקה עליידי ורימה מוגבהת לנחתות הוקה), ולפיכך יוצרו היוצרים עליידי הושתת. וcosa מהירות יצרן הגן — פועל באמצעות משקלות צנרטיפוגליות הסובבות בהתאם למחריות סיכון יצרן הגן. עליה ב מהירות הסיבוב גורמת לסגירה פרוורצינלית של מעבר הדלק, ולהיקף. ככל מוגבהת ב מהירות הטורבינה החופשית, ועוד חוטכת לעמש מגביל ל מהירות מסימלית מותרת של יצרן הגן והשבתו על דינמיקה הוייסות בהחותם העליון של המהירות ונחתה.

— וסת החשה (מגביל החשה) —odus למתן החשوت מהירות מידי של ספיקת הדלק לייצור. בכך נמנעת הצטמת תא השရיפה בדלק, וכן תופעת Rumbling, באשר המגע יצא ממעבר הזרימה שלו. הוסת פועל כך, שכאבד הלה עליימת-זרימה בלחץ בוכנית אליה הוא סוג עצמו ונפתח בפיגור ומונע בונון לכיזול; לירידה בלחץ דלק אין הוא מאייב, והוא אופעל עליידי הדלק עצמה. השפעת הוסת ניכרת בתפעלה מהירה מידי של המציגת בשעת התגעה, או כאשר ישנים שינויים חריפים וגולדים בעומק.

הרכיבים דלעיל שימשו את יצרן הגן גם בהזונה מוגע דחף, וחთמו לדרישות מערכת הוייסות הדומה. הרכיבים הנוספים לאערצת הם:

— וסת איזודרומי (אייזורוני) — וסת מופעל ב מהירות לסיבורו הטורבינה החופשית באמצעות משקלות צנרטיפוגליות המפעילות מערכת סרו פנימית לוייסות ב מהירות מעבר הדלק, וכיום הווא אינטגרלי + פרוורצינוני בעל פיגור מסדר ראשון, כך שפיטתה מעבר הדלק + מהירות הפתיחה יהוו פרוורצינונים לירידה ב מהירות הסת היסוד ביחס לערך הנזינגי, ולהיפך.

האפקט האינטגרלי מאפשר להציג לשגיאת מכב אפסית ב מהירות הסיבור הטורבינה הנומינלית של הטורבינה החופשית עבור עיבויים בעומק. האפקט הפרוורצינוני, מאפשר שיפור היציבות הדינמית של כל המערכת (בחוג סגור) בכל החותם של העומק.

קובע הפרש לחצים (ΔP_{const}) — שומר על הפרש לחץ-זרם קבוע בין כניסה ויציאה הוסת. לפיכך, ספיקת הדלק بعد הוסת מתitia פרוורצינלית ישירות לשיעור פתיחה נחיר הוסת. בעלות האלמנט היא כזו שכאשר גוזר עוד וודף בלוחן דלק בוכנית לוסת, נתה מעבר דלק כר שחלץ יורד חזקה לערך הוגן של העומק.

4.3 מודל דינמי

עקרונית, כולל המודל שני חלקים עיקריים:

— החק הבלתי-ליניארי, העוגן על בעיות יציבות ותופעת מעבר (Transient) כאשר קבועה סטיה אינקרמנטליית אמצע נומינלי S.S. (Steady State).

נתון.

נְפַתֵּח א'

לחץ מגע ייחסי וההקלקה ייחסית בנקודות הhiperdoft
והפגישה של השינויים

לחץ המגע, המשפייע על ה- α מחושב לפי משוואות הרין.
נקודות הhiperdoft והפגישה משתמשים ביחס א'
לחץ מגע בשורש חלוקן

$$k = \frac{\sin \alpha}{\sin \alpha + k_{pr}}$$

במפרשת להפחמת מהירות, נקודת הפגישה היא בשורש השן של
תגלל הקטן, המגעה, ונקודות הhiperdoft בשורש תגלל הגדל, המונע, אם
תיקון הפרופיל שווה בגודלו אך הפוך בסmeno בשני הגללים, מקבלים את
הנוסחאות כדלקמן ליחס א' [2]:

בפוגישה, בשורש תgalל הקטן :

$$k_{pr} = \frac{\sin \alpha}{2A \left[1 + i \left(1 - \frac{A}{\sin \alpha} \right) \right]}$$

ולנקודות הhiperdoft, בשורש תgalל הגדל :

$$k_{gr} = \frac{\sin \alpha}{2B \left[1 + \frac{1}{i} \left(1 - \frac{B}{\sin \alpha} \right) \right]}$$

כאשר :

$$A^2 = \left[\frac{2(1-x_p) \cos \beta}{iN_p} + 1 \right]^2 - \cos^2 \alpha;$$

$$B^2 = \left[\frac{2(1+x_p) \cos \beta}{N_p} + 1 \right]^2 - \cos^2 \alpha$$

תגובה א' Scoring צויפעת מתחייבות ההחלקה הייחסית במשתי
נקודות הנזכורות. הנוכחות, בקירוב, הן : (למסגרת הפתיחה) [2]
בפוגישה, בשורש תgalל הקטן :

$$S_{pr} = \frac{i+1}{\frac{\sin \alpha}{A - \sin \alpha} - i}$$

ובhiperdoft, בשורש תgalל הגדל :

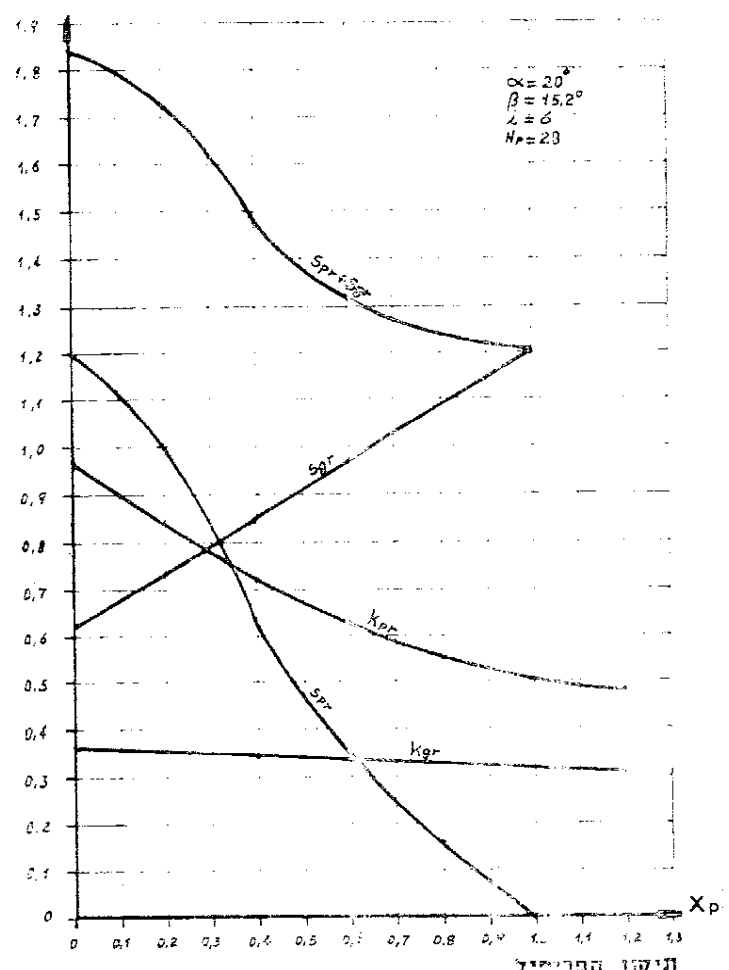
$$S_{gr} = \frac{i+1}{\frac{i \sin \alpha}{B - \sin \alpha} - 1}$$

כדי להקטין את הבלאי בנקודות אלו נשמרו הכללים כדלקמן :

- (1) $k < c_1$
- (2) $S_{pr} \leq S_{gr}$
- (3) $S_{gr} < c_2$
- (4) $S_{gr} + S_{pr} < c_3$

התוצאות, c_1 , c_2 , c_3 נקבעות מהגסיון ותלות בטיב השטה, תקשיות,
שינייה הקשיות, עומק השכבה הקשה ונוכחות מיקרוסטדים.
התלות של יהס לחץ המגע ומתחייבות ההחלקה הייחסית במקדם תיקון
הפרופיל במסגרת הבחינה — נראה באיזור מס' 11.

S-תאולוקה ייחסית
K-לחץ מגע ייחסית



ציור מס' 11: הצלקה ייחסית ולוח מנ' יחס כפונקציה של מקדם תיקון הפרופיל

להלן נתונים דיוון פמקרה בו חול ציפוי מחרגת בעימס בעודם בעוד המצערות
קבועות במלבן האפסיאלי.

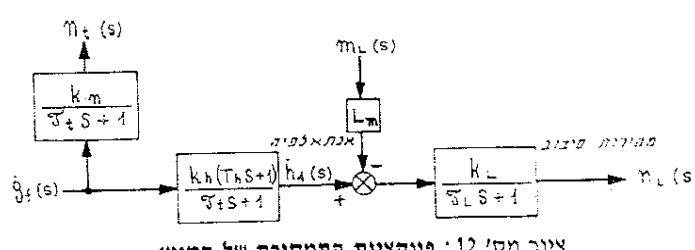
$$r_L = r_R = r \\ m_L \neq 0$$

הගבhel, שכאSTER האפקט הפרופורציאני ביחס לתאום יותה, היה
קיימת השפעה על איזיציות מתחייבות חסיבוב של תיארן (נכון ל-
Hunting) הדבר טוהר את מטרת האפקט הפרופורציאני שנועד להגדיל
את יציבותה המעוורנות.

בדיקת חישובית ותוביר, כי הגורש המפריע היה דזוקא וסת התחשאה
שאר הוא נועד למתן העוצמה מהירות של דלק, אלא ענו צור אפקט לא
סימטרי: כאשר מעבר הדלק מוסטה האיזודורומי נפתח ($0 > z'$) עליה
לחץ הדלק, וסת התחשאה נפתח בפיגור זמן, בעוד שבכיוון החוף אין לו
השפעה, האפקט גורם לאילנינאריות חזקה ולאיזיציבות.

ניתן היה לתגבר על בעיה זו על ידי שינוי מעבר הדלק ביחס
האיזודורומי כפונקציה של מידת הפתיחה כדי להחליש השפעה חזקה על
סת התחשאה. על ידי כך ניתן היה להגדיל את האפקט הפרופורציאני
בוסת ובן לתאים את מתחייבות הפתיחה שלו, ואולם, התקבלה יציבות בכל
תחום של שינייה עיאס (זיהון אנאליטי מוכן בנספח ב').

המודל המוצע יכול ל淮南 בסיס לווישוב ראשוני בקירוב טוב. מודל
מורכב יותר גבחן על-ידיינו חישובית וכן מעשית — בניסויים.

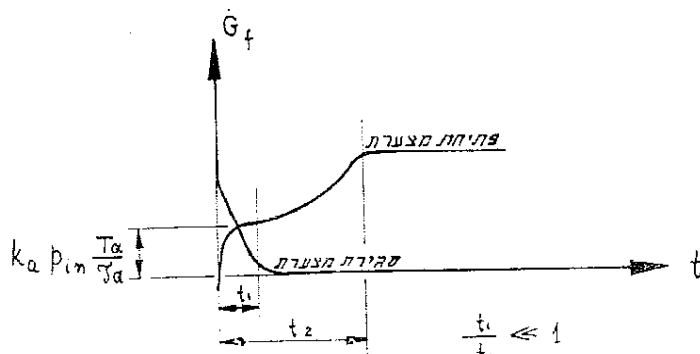


ציור מס' 12: כפונקציות התמסורת של המגע

$$g'(t) = k_a \frac{T_a s + 1}{\tau_a s + 1} p_{in}(s)$$

$p_{in}, p'_{in} > 0$ **כאשר** $\frac{T_a}{\tau_a} < 1$

$p_{in}, p'_{in} \leq 0$ **כאשר** $\frac{T_a}{\tau_a} \geq 1$



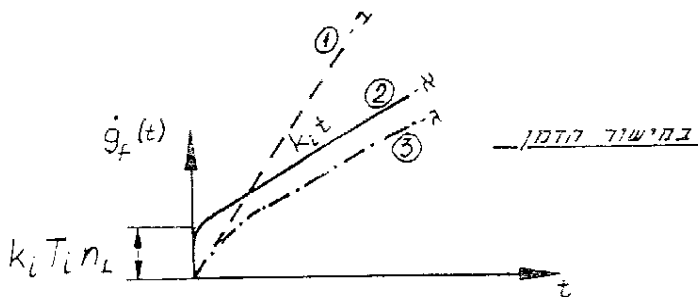
ציור מס' 13: תגובת ווסת ההחשה לפונקציית-מדרגה בלחץ דלק

ב-2.1 ווסת-אייזודרומי

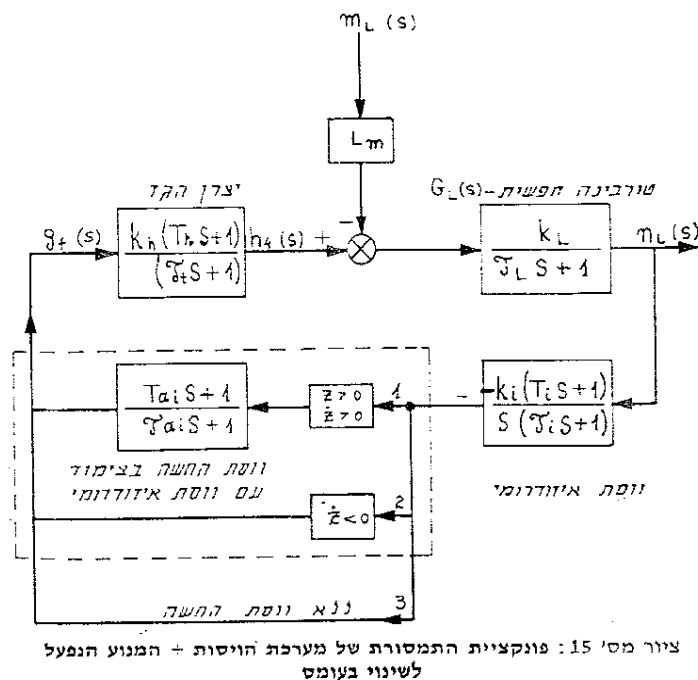
$$\frac{dz_i}{dt} + z_i = k_i (T_i n_L + \int m_L dt)$$

$$g'_i(s) = \frac{-k_i (T_i s + 1)}{s (\tau_i s + 1)} n_L(s)$$

$$g'_i(s) = k_i \cdot z_i(s); \quad k_i = k_a k_t$$



ציור מס' 14: תגובת הווסת האיזודרומי לפונקציית-מדרגה בשינוי סיבובי הטורבינה החופשית



ציור מס' 15: פונקציית התמסורת של מערכת הוויסות + המנווע הנפעלי לשינוי בעומס

ב-1 מודל המנווע

כאמור לעיל, מכל המודל המורכב את משוואות התהליכים של כל אלמנט נפרד : מadius יצרן הגז, תא והשדרה, טורבינה יצרן הגז, הטורבינה החופשית וצינור הפליטה, כאשר כל אחד מהם מושווה נפח בקרה. המודל הפשוט יותר, המובא להלן, מרכיב ממוצע מומנט בין מadius וטורבינה ייצור הגז ומומנט ההאנזה שלה, וממוצע מומנטים על הטורבינה החופשית בין הגזים לבין העומס ומומנט ההאנזה.

ב-1.1 יצור הגז

מוצע מומנטים : (סביב S.S. נתון)

$$(1) \quad J_t \frac{dn_t}{dt} = \delta M_{et} \quad M_{et} = M_t \left(\frac{60}{2\pi} \right)$$

$$(2) \quad M_{et} = \frac{H_t}{N_t}$$

$$(3) \quad \delta H'_t = h'_t = \left(\frac{\partial H'_t}{\partial N_t} \right)_{n't} n_t + \left(\frac{\partial H'_t}{\partial G'_t} \right)_{n't} g'_t$$

$$(4) \quad \delta H'_t = h'_t = \left(\frac{\partial H'_t}{\partial N_t} \right)_{n't} n_t + \left(\frac{\partial H'_t}{\partial G'_t} \right)_{n't} g'_t$$

פונקציות התמסורת :

$$n_t(s) = -\frac{k_a}{(\tau_t s + 1)} g'_t(s)$$

$$h_t(s) = \frac{k_a (T_t s + 1)}{(\tau_t s + 1)} g'_t(s)$$

כאשר :

$$k_a = \frac{\left(\frac{\partial H'_t}{\partial G'_t} \right)_{n't}}{H'_t - \left(\frac{\partial H'_t}{\partial N_t} \right)_{n't}} ; \quad k_b = \left(\frac{\partial H'_t}{\partial N_t} \right)_{n't} k_a + \left(\frac{\partial H'_t}{\partial G'_t} \right)_{n't}$$

$$\tau_t = \frac{J_t N_t}{H'_t - \left(\frac{\partial H'_t}{\partial N_t} \right)_{n't}} ; \quad T_t = \frac{\left(\frac{\partial H'_t}{\partial G'_t} \right)_{n't} \tau_t}{\left(\frac{\partial H'_t}{\partial N_t} \right)_{n't} k_a + \left(\frac{\partial H'_t}{\partial G'_t} \right)_{n't}}$$

ב-2.1 טורבינה חופשית

מוצע מומנטים :

$$J_t \frac{dm_t}{dt} = \left(\frac{\partial M_{et}}{\partial H'_t} \right)_{nL} h'_t + \left(\frac{\partial M_{et}}{\partial N_t} \right)_{n't} m_t - m_{et}$$

כאשר : $m_{et} = m_L (60/2\pi)$; $M_{et} = M_L (60/2\pi)$

פונקציית התמסורת :

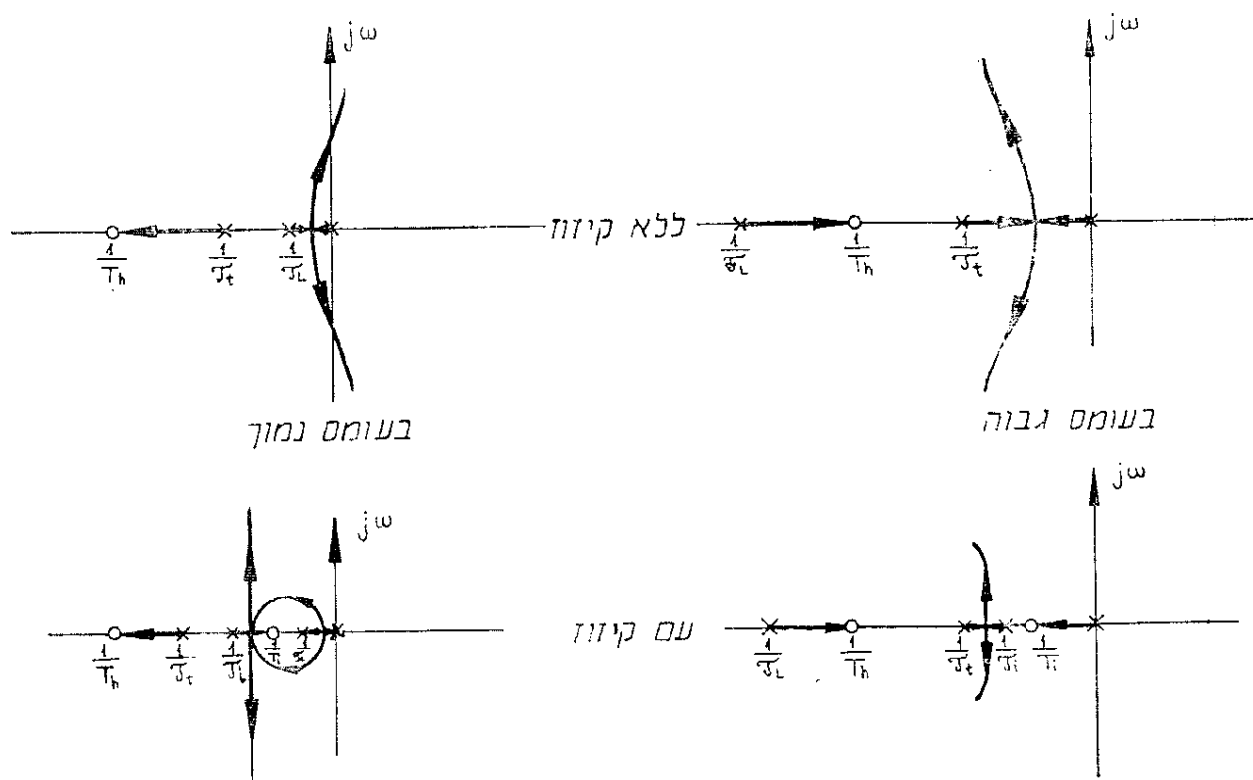
$$n_L(s) = \frac{k_L [h'_L(s) - L_m m_L(s)]}{\tau_L s + 1}$$

$$k_L = \frac{\left(\frac{\partial M_{et}}{\partial H'_t} \right)_{nL}}{\left(\frac{\partial M_{et}}{\partial N_t} \right)_{n't}} ; \quad L_m = \frac{(60/2\pi)}{-\left(\frac{\partial M_{et}}{\partial N_t} \right)_{n't} \left(\frac{\partial M_{et}}{\partial H'_t} \right)_{nL}}$$

ב-2 מודל מערכת הוויסות
נתייחס כאן רק לאלמנטים המשמשים על דינמיקה הוויסות בפעולת הטורבינה החופשית בסיבובים נומינליים.

ב-2.2 ווסת החשה

$$\tau_z \frac{dg'_z}{dt} + g'_z = k_a \left(T_a \frac{dp_{in}}{dt} + p_{in} \right)$$



ציור מס' 16: שורשי המשווה האופיינית בוגר סגור

קריטריון יציבות לרפי Routh

$$(a) \quad k_1 < \frac{\tau_L + \tau_t}{k_L k_{L1} [\tau_L \tau_t - T_h (\tau_L + \tau_t)]}$$

כאשר: $\tau_L \tau_t - T_h (\tau_L + \tau_t) \geq 0$

$$(b) \quad k_1 > 0$$

כאשר: $\tau_L \tau_t - T_h (\tau_L + \tau_t) < 0$

(3) עבור $1 > \frac{T_t}{\tau_t}$ (לאחר מיתון ה תלות בין מעבר החלק בושת

למידה הפתקה): ההגנה איזומת יותר ב- $t = 0$ מאשר ב-(a) ומהירות אינטגרציה נמוכה מאשר ב-(b). קיימת השפעה שלשה על ווסת ההשתה.

פונקציית התמסורת בחזג פתוח:

$$GH(s) = k_1 k_L k_{L1} \frac{(T_L s + 1)(T_h s + 1)}{s(\tau_L s + 1)(\tau_h s + 1)}$$

τ_L ו- T_L מכונים כך ש:

$\tau_L < T_h < \tau_t < \tau_L < T_t$: בעומס גבוח;
 $T_h < \tau_t < \tau_L < T_t < \tau_L$: בעומס נמול;
 בדיקת המשווה האופיינית, מתקבלת יציבות בכל תחום של עומס.

בצייר 16 ניתן תיאור של שורשי המשווה האופיינית בוגר סגור בפונקציה של הגבר הווסת k_1 , מנו מקבל חמונה על אורי היציבות של המערכת.

ביבליוגרפיה:

1. Horlock, J. H.: Axial Flow Turbines, Butterworth, 1966.
2. Gay, C. E.: Minimize Wear in Gears, "Machine Design", Vol. 42, No. 24, 1970.
3. Sobey, A. J. and Suggs, A. M.: Control of Aircraft and Missile Power Plant, Wiley, 1963.
4. Guillon, M.: Etude et determinations des Systemes Hydrauliques. Dunod, 1961.

ב-3.2. ווסת אוחסה ביצימוץ עם הווסת האיזודромי

$$(a) \quad T_h \rightarrow T_{h1} \quad z, z' > 0 \quad \frac{T_{h1}}{\tau_{h1}} < 1$$

$$(b) \quad k_1 \rightarrow k_{11} \quad z, z' \leq 0 \quad \frac{T_{h1}}{\tau_{h1}} \cong 1$$

ב-3 מודול כולל (מנוע בזרוף מערכות חישוב)

$$(a) \quad \text{עבור } 1 > \frac{T_t}{\tau_t} \text{ תיעוד המרכיב במיטולים (1) ו(2) בהתאם}$$

לביטחון או סגירת מעבר החלק בושת האיזודромי. מתקבלת קפיצת בתגובה ב- $t = 0$ (בשיעור $z = 0, z' \gg 0$) והשפעה חזקה על ווסת התוואה הגורם לאיזיביות ממושבר פשוט. (הערה: תנובת הווסת האיזודромי בשלשנות המקרים הנדרניים, מתוארת בצייר מס' 14, גראפים א/ב/ג/ בהתחמלה).

$$(b) \quad \text{עבור } 1 \cong \frac{T_t}{\tau_t} \text{ מעבוד אמצעי במיטול (3). מהירות}$$

האינטגרציה של הווסת גבוח מאסר ב-(a) אך אין תנובת קפיצת ב- $t = 0$. מתקבלת יציבות בעומסים גבוחים (τ_L נמול). הויסת עובד בויסת אינטגרלי טהור.

פונקציית התמסורת בחזג פתוח:

$$GH(s) = k_1 k_L k_{L1} \frac{(T_h s + 1)}{s(\tau_L s + 1)(\tau_h s + 1)}$$

המשווה האופיינית:
 $(\tau_L \tau_t) s^3 + (\tau_L + \tau_t) s^2 + (1 + k_1 k_L T_h) s + (k_1 k_L) = 0$